

С 346.46

В - 611

ОБЪЕДИНЕННЫЙ
ИНСТИТУТ
ЯДЕРНЫХ
ИССЛЕДОВАНИЙ

Дубна

P - 2327



А.С. Вовенко, Б.Н. Гуськов, М.Ф. Лихачев,
А.Л. Любимов, Ю.А. Матуленко,
И.А. Савин, В.С. Ставинский

УПРУГОЕ РАССЕЯНИЕ π^+ -МЕЗОНОВ
НА ПРОТОНАХ НА УГОЛ 180°
ПРИ ВЫСОКИХ ЭНЕРГИЯХ

Лаборатория высоких энергий

1965

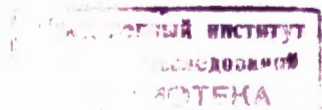
P - 2327

3541/1 48

А.С. Вовенко, Б.Н. Гуськов, М.Ф. Лихачев,
А.Л. Любимов, Ю.А. Матуленко,
И.А. Савин, В.С. Ставинский

УПРУГОЕ РАССЕЯНИЕ π^+ -МЕЗОНОВ
НА ПРОТОНАХ НА УГОЛ 180°
ПРИ ВЫСОКИХ ЭНЕРГИЯХ

Направлено в "Письма ЖЭТФ"



В Лаборатории высоких энергий Объединенного института ядерных исследований были измерены величины дифференциальных сечений упругого $\pi^+ - p$ -рассеяния в малом телесном угле на 180° при импульсах π^+ -мезонов в лабораторной системе 3,15; 4,10 и 4,85 Гэв/с. Результаты измерений при 3,15 Гэв/с были опубликованы ранее^{1/}. В данной работе приводятся результаты измерений при 4,10 Гэв/с и 4,85 Гэв/с и сопоставляются данные, полученные при всех трех энергиях.

Измерения при разных энергиях производились с помощью одной и той же установки.^{1/} Описание установки дано в^{1/}, откуда заимствованы рис. 1.

Отношение числа зарегистрированных установкой случаев упругого рассеяния π^+ -мезонов назад к общему числу полученных снимков с увеличением энергии уменьшалось (1:4,4 при 3,15 Гэв/с; 1: 11 при 4,10 Гэв/с; 1 : 40 при 4,85 Гэв/с). Это вызвано не только уменьшением величины измеряемого сечения, но и ухудшением фоновых условий вследствие меньшего пространственного разделения протонов отдачи от частиц пучка (см. рис. 1). Поэтому потребовалось применение более строгих критериев для отбора случаев упругого рассеяния назад, чем в^{1/}. Эти же критерии были использованы для повторной обработки данных при 3,15 Гэв/с. При просмотре пленки с искровой камеры SCI для дальнейшей обработки отбирались снимки, на которых помимо трека от падающей пучковой частицы присутствует трек, продолжение которого в сторону водородной мишени может пересекаться с продолжением пучкового трека. Через координаты этих треков проводились прямые и вычислялось расстояние минимального сближения этих прямых δ , координата этого места и угол ϵ , под которым видно это минимальное расстояние из камеры SCI. Распределение событий по величине ϵ оказалось гауссовым с полушириной $\sim 1,2 \cdot 10^{-2}$ радиана, соответствующей ожидаемой для случаев $\pi^+ - p$ -рассеяния назад (из-за кулоновского рассеяния в водороде рассиянного назад π^+ -мезона и погрешностей в измерении углов треков в камере SCI). Пересекающиеся считались пары треков с $\epsilon < 3 \cdot 10^{-2}$ рад. Остальные отбрасывались. Исключались также случаи, когда пересечение треков находилось вне объема жидкого водорода. Для отобранных таким образом событий строились распределения по импульсам частиц, зарегистрированных в искровой камере SC II. В этих распределениях

виден четкий пик, соответствующий импульсу протонов отдачи от упругого $\pi^+ p$ -рассения назад (ширина этого пика определялась разбросом по энергии первичного пучка и разрешающей способностью магнитного спектрометра и составляла около 2% при 4,10 и 4,85 Гэв/с). События, попадающие в этот пик, считались случаями упругого рассеяния $\pi^+ p$ назад (поправка на случайное попадание частицы в эту область камеры ССП, с $\epsilon < 3 \cdot 10^{-2}$ рад, составляла 1,7% для 3,15 Гэв/с; 3,7% - для 4,10 Гэв/с; и 6,4% - для 4,85 Гэв/с).

Эффективный телесный угол установки в с.п.м., вычисленный методом Монте-Карло с учетом кулоновского рассеяния частиц, составлял $2,87 \cdot 10^{-3}$ стер для 4,10 Гэв/с и $3,04 \cdot 10^{-3}$ стер для 4,85 Гэв/с.

При вычислении эффективных сечений вводились поправки на ядерное взаимодействие первичного и рассеянного назад π^+ -мезонов и протона отдачи в водородной мишени и счетчиках, на примесь μ -мезонов в пучке, на распад рассеянного π -мезона, на эффективность спиритуационных счетчиков и электронных систем, на эффективность искровых камер.

В таблице 1 приведены полученные величины дифференциальных сечений, включая данные при 3,15 Гэв/с, обработанные с использованием указанных выше критериев отбора. Ошибки, указанные в таблице, включают статистическую ошибку и неопределенность в поправках.

В этой же таблице для сравнения приведены данные для 4,0 Гэв/с, полученные с помощью жидколоводородной камеры^{/2/}.

В предыдущей нашей работе^{/1/} был сделан вывод о существовании значительного по величине и узкого пика в дифференциальном сечении упругого $\pi^+ p$ -рассеяния назад при 3,15 Гэв/с. Из данных, приведенных в таблице 1, видно, что имеется узкий пик вблизи 180° при 4,0 Гэв/с. Действительно, величина $(\frac{d\sigma}{d\Omega})_{180^\circ}^{4,10}$ на порядок пре-восходит среднее сечение рассеяния в заднюю полусферу и почти в 4 раза больше сечения для интервала по $\cos\theta$ с.п.м. от $-0,8$ до $-1,0$ при 4,0 Гэв/с. Имеется пик в $\pi^+ p$ -рассеянии назад и при 4,85 Гэв/с; величина $(\frac{d\sigma}{d\Omega})_{180^\circ}^{4,85}$ в несколько раз превосходит величину $(\frac{d\sigma}{d\Omega})_{90^\circ}^{4,85}$, которая в свою очередь должна быть больше $(\frac{d\sigma}{d\Omega})_{90^\circ - 180^\circ}^{4,85}$.

Существование пика в упругом $\pi^+ p$ -рассеянии назад в достаточно широком интервале энергий выше 3 Гэв указывает на то, что этот пик не связан с проявлением какого-либо резонанса, а является характерным для процесса упругого рассеяния в области высоких энергий^{x/}.

^{x/} Измерения производились при энергиях выше 3,0 Гэв, чтобы избежать возможного влияния рождения изобар на упругое рассеяние назад.

Дифференциальное сечение рассеяния назад при 4,0 Гэв/с, полученное в работе 4.1 /2/,
совместно с $(\frac{d\sigma}{d\Omega})_{180^\circ}$ из данной работы хорошо описывается зависимостью вида
 $\frac{d\sigma}{d\Omega} = A \exp \left\{ \frac{P_\perp}{0.32} \right\}$, где P_\perp — перпендикулярный переданный импульс в Гэв/с.

Величина $(\frac{d\sigma}{d\Omega})_{180^\circ}$ быстро убывает в измеренном нами интервале энергий. Однако поскольку измерения при разных энергиях производились для разных значений квадрата переданного импульса u , а сечение рассеяния около 180° зависит от u , указанное убывание сечений происходит при одновременном изменении двух параметров: энергии и квадрата переданного импульса u .

Авторы благодарят В. Бирулева, Т. Добровольского, А. Завгороднего, И. Какурина, В. Перевозчикова, Н. Чернышова за помощь в работе, В. Кочкина за составление программ и проведение расчетов, коллектив синхрофазотрона за обеспечение стабильной работы ускорителя и группу эксплуатации криогенного отдела за обеспечение жидким водородом.

Л и т е р а т у р а

1. J.A.Savin, A.S.Vovenko, B.N.Gus'kov, M.F.Likhachev, A.L.Lyubimov, Ju. A. Matuleiko, V.S.Stavinsky. Phys. Lett., 17, 68 (1965).
2. Aachen- Berlin - Birmingham - Bonn - Hamburg - London - Munchen Collaboration. Phys. Lett., 10, 248 (1964).

Рукопись поступила в издательский отдел
10 августа 1965 г.

Т а б л и ц а I

Данные по упругому рассеянию π^+ мезонов на протонах вблизи 180° .

Импульс π^+ мезона в лаб. сист.	Интервал углов в θ с.п.м. (в градусах)	Интервал $\cos \theta$ с.п.м.	Интервал u $(\text{ГэВ}/c)^2$	$(\frac{d\sigma}{d\Omega})$ с.п.м.	$\frac{d\sigma}{du}$ (мкбарн/стэр.) $(\text{мкбарн}/(\text{ГэВ}/c))^2$	Ссылка
3.15	177 ± 180	$-0,998 \pm -1,000$	$0,109 \pm 0,104$	99 ± 12	244 ± 29	Данная работа
4.10	177 ± 180	$-0,998 \pm -1,000$	$0,086 \pm 0,081$	$74 \pm II$	136 ± 20	Данная работа
4.85	177 ± 180	$-0,998 \pm -1,000$	$0,074 \pm 0,068$	37 ± 12	56 ± 18	Данная работа
4.00	143 ± 180 90 ± 180	$-0,800 \pm -1,000$ $0 \pm -1,000$	$0,088 \pm -0,562$ $0,088 \pm -3,252$	19 ± 5 6.4 ± 1.3	36 ± 9 12 ± 2.4	/2/

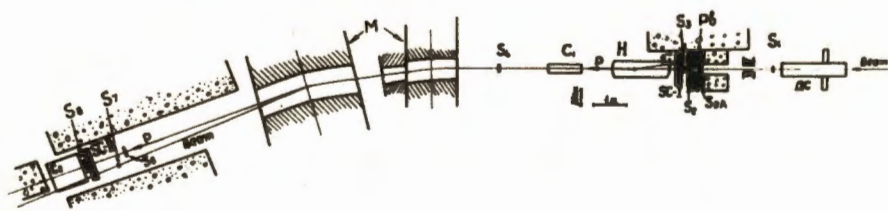


Схема установки для измерения упругого $\pi^+ p$ -рассеяния на угол около 180° .

$S_1 - S_7$ - сцинтилляционные счетчики,

DC - дифференциальный газовый черенковский счетчик,

C_1, C_2 - пороговые газовые черенковские счетчики,

H - водородная мишень,

SCI, SCII - искровые камеры,

M - магнитный спектрометр.